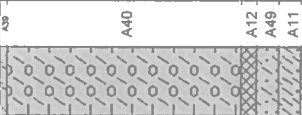


GEOtest	Odpovědný řešitel	Zpracovatel podkladů	Vyhotovil	Prověřil
	Mgr. P. Řezníček	Ing. M. Bulgurovská	Ing. M. Bulgurovská	Ing. M. Polák
Objednatel:	Brněnské vodárny a kanalizace, a. s. Pisárecká 551/1a, Brno			
Název zakázky:	Modřice – ČOV, IG + HG	Datum	červen 2017	
		Číslo zakázky	17 7184	
		Měřítko	1: 100	
Název přílohy:	Geologická dokumentace jádrových vrtů	Číslo přílohy	3.1	
		Číslo výtisku		

GEOtest, a.s.										Geologická dokumentace										Objekt									
										Popis polohy										J201									
																				Souřadnice X : 1168119,73 Y : 597451,31 Nadmořská výška : 190,70 Lokalita : Modřice ČOV Mapa 1:25.000 24-342									

GEOtest, a.s.										Geologická dokumentace										Objekt J203											
Hloubka (m)		Stratigrafie		Geologický profil		Hladiny vody		Odebrání vzorků		G-typ		14688		736133		Souřadnice X : 1168177.96 Y : 597394.21 Nadmořská výška : 190.94 Lokalita : Modřice ČOV Mapa 1:25.000 24-342															
1	2	3	4	5	6	7	8	9	POPISNÁ DATA											Datum zahájení : 24. 4. 2017 Datum ukončení : 24. 4. 2017 Souprava : VHS Jméno operátora : p. Daněk											
Antropogén					0.00-0.10 : Hlina, hnědá, pevná, s kořínky, dím					sas(CiY) F3 MSY					INTERVALY VRTÁNÍ [m]					PRŮMĚR [mm]											
					0.10-0.70 : Navázka charakteru hlíny písčité se šterkem, hnědá, ulehá, suchá, soudržná část zemin jepevné konzistence, poloostrohranné úlomky hominy do průměru 4 cm (15%)					1c					0.0 - 5.4 175					1. naražená hladina 1.70 m											
					0.70-1.00 : Navázka charakteru šterku hlinitého, hnědý, středně ulehý, suchý, poloostrohranné úlomky hominy do průměru 2 cm					1b					5.4 - 11.0 137					Ustálená hladina 3.95 m											
					1.00-1.20 : Beton, úlomky 8 - 15 cm					1c					PODZEMNÍ VODA					Datum zjištění : 25. 4. 2017											
					1.20-1.60 : Navázka charakteru šterku hlinitého, hnědý, středně ulehý, suchý, poloostrohranné úlomky hominy do průměru 2 cm					5					POZNÁMKA					Dokumentovala Ing. Bulgurovská											
Kvartér					1.60-1.65 : Potrubí kovové					6					POZNÁMKA					Vrt byl ukončen v 11 m.											
					1.65-2.40 : Navázka charakteru hlíny jílovité, tmavě hnědá, soudržná část zemin je tuhé až pevné konzistence, zavhlá, zapáchá, bahno					7					POZNÁMKA					Měřtko : 1 : 100											
					2.40-2.45 : Potrubí kovové					6					ID_OBJ : 3					Projekt : 17 7184											
					2.45-2.50 : Beton, podklad pod potrubím					7					Zpracoval : Ing. M. Bulgurovská					Datum : 27. 6. 2017											
					2.50-3.00 : Navázka charakteru šterku hlinitého, hnědá, středně ulehá, vlhká, písčité frakce jemno až středozrná, poloostrohranná zrna šterku do průměru 7 cm					6					Příloha																
Neogén					3.00-5.40 : Navázka charakteru šterku hlinitého (45%), rezavohnědá, středně ulehá, zvodnělá, písčité frakce jemno až hrubozrná, polozabílené valouny, zrna šterku do průměru 5 cm, ojediněle max. 10 cm					6																					
					5.40-7.90 : Šterk s příměsí jemnozrné zemin, rezavošedohnědý, středně ulehý, zvodnělý, písčité frakce jemno až hrubozrná, polozabílené, poloopracované valouny, zrna šterku o průměru 8 - 10 cm					6																					
					7.90-8.50 : Jíl, šedozelelý, tuhý, jíl s vysokou plasticitou, neogenni					6																					
					8.50-9.70 : Písek jílovitý, zelenošedý, zvodnělý, písčité frakce jemnozrná					6																					
					9.70-10.00 : Jíl, šedozelelý, tuhý až pevný, jíl s vysokou plasticitou, neogenni					6																					
10					10.00-10.50 : Písek jílovitý, zelenošedý, zvodnělý, písčité frakce jemnozrná					6																					
					10.50-11.00 : Jíl, šedozelelý, tuhý až pevný, jíl s vysokou plasticitou, neogenni					6																					
11	11																														
12																															
13																															
14																															

Geologická dokumentace										Objekt									
Geologický profil										J205									
Stratigrafie										Souradnice									
Hloubka [m]										X : 1168216.60									
										Y : 597399.88									
										Nadmořská výška : 191.21									
										Lokalita : Modřice COV									
										Mapa 1:25.000 24-342									
										9									
										8									
										7									
										6									
										5									
										4									
										3									
										2									
										1									
										0									
										-1									
										-2									
										-3									
										-4									
										-5									
										-6									
										-7									
										-8									
										-9									
										-10									
										-11									
										-12									
										-13									
										-14									
										-15									
										-16									
										-17									
										-18									
										-19									
										-20									
										-21									
										-22									
										-23									
										-24									
										-25									
										-26									
										-27									
										-28									
										-29									
										-30									
										-31									
										-32									
										-33									
										-34									
										-35									
										-36									
										-37									
										-38									
										-39									
										-40									
										-41									
										-42									
										-43									
										-44									
										-45									
										-46									
										-47									
										-48									
										-49									
										-50									
										-51									
										-52									
										-53									
										-54									
										-55									
										-56									
										-57									
										-58									
										-59									
										-60									
										-61									
										-62									
										-63									
										-64									
										-65									
										-66									
										-67									
										-68									
										-69									
										-70									
										-71									
										-72									
										-73									
										-74									
										-75									
										-76									
										-77									
										-78									
										-79									
										-80									
										-81									
										-82									
										-83									
										-84									
										-85									
										-86									
										-87									
										-88									
										-89									
										-90									
										-91									
										-92									
										-93									
										-94									
										-95									
										-96									
										-97									
										-98									
										-99									
										-100									
										-101									
										-102									
										-103									
										-104									
										-105									
										-106									
										-107									
										-108									
										-109									
										-110									
										-111									
										-112									
										-113									
										-114									
										-115									
										-116									
										-117									
										-118									
										-119									
										-120									
										-121									
										-122									
										-123									
										-124									
										-125									
										-126									
										-127									
										-128									
										-129									
										-130									
										-131									
										-132									
										-133									
										-134									
										-135									
										-136									
										-137									
										-138									
										-139									
										-140									
										-141									
										-142									
										-143									
										-144									
										-145									
										-146									
										-147									
										-148									
										-149									
										-150									
										-151									
										-152									
										-153									
										-154									
										-155									
										-156									
										-157									
										-158									
										-159									
										-160									
										-161									
										-162									
										-163									
										-164									
										-165									
										-166									
										-167									
										-168									
										-169									
										-170									
										-171									
										-172									
										-173									
										-174									
										-175									
										-176									
										-177									
										-178									
										-179									
										-180									
										-181									
										-182									
										-183									
										-184									
										-185									
										-186									
										-187									
										-188									
										-189									
										-190									
										-191									
										-192									
										-193									
										-194									
										-195									
										-196									
										-197									
										-198									
										-199									
										-200									
										-201									
										-202									
										-203									
										-204									
										-205									
										-206									
										-207									
										-208									
										-209									
										-210									
										-211									
										-212									
										-213									
										-214									
										-215									
										-216									
										-217									
										-218									
										-219									
										-220									
										-221									
										-222									
										-223									
										-224									
										-225									
										-226									
										-227									
										-228									
										-229									
										-230									
										-231									
										-232									
										-233									
										-234									
										-235									
										-236									
										-237									
										-238									
										-239									
										-240									
										-241									
										-242									
										-243									
										-244									
										-245									
										-246									
										-247									
										-248									
										-249									
										-250									
										-251									
										-252									
										-253									
										-254									
										-255									
										-256									
										-257									
										-258									
										-259									
										-260									
										-261									
										-262									
										-263									
										-264									
										-265									
										-266									
										-267									
										-268									
										-269									
										-270									
										-271									
										-272									
										-273									
										-274									
										-275									
										-276									
										-277									
										-278									
										-279									
										-280									
										-281									
										-282									
										-283									
										-284									
										-285									
										-286									
										-287									
										-288									
										-289									
										-290									
										-291									
										-292									
										-293									
										-294									
										-295									
										-296									
										-297									
										-298									
										-299									
										-300									
										-301									
										-302									
										-303									
										-304									
										-305									
										-306									
										-307									
										-308									
										-309									
										-310									
										-311									
										-312									
										-313									
										-314									
										-315									
										-316									
										-317									
										-318									
										-319									
										-320									
										-321									
										-322									
										-323									
										-324									
										-325									
										-326									
										-327									
										-328									
										-329									
										-330									
										-331									
										-332									
										-333									
										-334									
										-335									
										-336									
										-337									
										-338									
										-339									
										-340									
										-341									
										-342									
										-343									
										-344									
										-345									
										-346									
										-347									
										-348									
										-349									
										-350									
										-351									
										-352									
										-353									
										-354									
										-355									
										-356									
										-357									
										-358									
										-359									
										-360									
										-361									
										-362									
										-363									
										-364									
										-365									
										-366									
										-367									
										-368									
										-369									
										-370									
										-371									
										-372									
										-373									
										-374									
										-375									
										-376									
										-377									
										-378									
										-379									
										-380									
										-381									
										-382									
										-383									
										-384									
										-385									
										-386									
										-387									
										-388									
										-389									
										-390									
										-391									
										-392									
										-393									
										-394									
										-395									
										-396									
										-397									
										-398									
										-399									
										-400									
										-401									
										-402									
										-403									
										-404									
										-405									
										-406									
										-407									
										-408									
										-409									
										-410									
										-411									
										-412									
										-413									
										-414									
										-415									
										-416									
										-417									
										-418									
										-419									
										-420									
										-421									
										-422									
										-423									
										-424									
										-425									
										-426									
										-427									
										-428									
										-429									
										-430									
										-431									
										-432									
										-433									
										-434									
										-435									
										-436									
										-437									
										-438									
										-439									
										-440									
										-441									
										-442									
										-443									
										-444									
										-445									
										-446									
										-447									
										-448									
										-449									
										-450									
										-451									
										-452									
										-453									
										-454									
										-455									
										-456									
										-457									
										-458									
										-459									
										-460									
										-461									
										-462									
										-463									
										-464									
										-465									
										-466									
										-467									
										-468									
										-469									
										-470									
										-471									
										-472									
										-473									
										-474									
										-475									
										-476									
										-477									
										-478									
										-479									
										-480									

GEOtest a.s.															Geologická dokumentace															Objekt J208																																																																																																																																																																																																																																																																																																																																																																																																																																																																																																																																																																																																																																																																																																																																																																																																																																																																																																																																																																																																																																																																																																																																																																																																																																																																																																																																																																																																																																																																																																																																																																																																																																																																																																																																																																																																																																																																																																																																																																																																																																																																																																																																																																																																																																																																																																																																																																																																																																																																																																																																																																																																																																																																																																																																																																																																																																																																																																																																																																																																																																																																																																																																																																																																																																																																																																																																																																																																																																																																																																																																																																																																																																																																																																																																																																																																																																																																																																																																																																																																																																																																																																																																																																																																																																																																																																																																																																																																																																																																																																																																																																																																																																																																																																																																																																																																																																																																																																																																																																																																																																																																																																																																																																																																																																																																																																																																																																																																																																																																																																																																																																																																																																																																																																																																																																																																																																																																																																																																																																																																																																																																																																																																																																																																																																																																																																																																																																																																																																																																																																																																																																																																																																																																																																																																																																																																																																																																																																																																																																																																																																																																																																																																																																																																																																																																																																																																																																																																																																																																																																																																																																																																																																																																																																																																																																																																																																																																																																																																																																																																																																																																																																																																						
Stratigrafie															Geologický profil															Souřadnice X : 1168235.71 Y : 597232.00 Nadmořská výška : 191.14 Lokalita : Modřice ČOV Mapa 1:25,000 24-342																																																																																																																																																																																																																																																																																																																																																																																																																																																																																																																																																																																																																																																																																																																																																																																																																																																																																																																																																																																																																																																																																																																																																																																																																																																																																																																																																																																																																																																																																																																																																																																																																																																																																																																																																																																																																																																																																																																																																																																																																																																																																																																																																																																																																																																																																																																																																																																																																																																																																																																																																																																																																																																																																																																																																																																																																																																																																																																																																																																																																																																																																																																																																																																																																																																																																																																																																																																																																																																																																																																																																																																																																																																																																																																																																																																																																																																																																																																																																																																																																																																																																																																																																																																																																																																																																																																																																																																																																																																																																																																																																																																																																																																																																																																																																																																																																																																																																																																																																																																																																																																																																																																																																																																																																																																																																																																																																																																																																																																																																																																																																																																																																																																																																																																																																																																																																																																																																																																																																																																																																																																																																																																																																																																																																																																																																																																																																																																																																																																																																																																																																																																																																																																																																																																																																																																																																																																																																																																																																																																																																																																																																																																																																																																																																																																																																																																																																																																																																																																																																																																																																																																																																																																																																																																																																																																																																																																																																																																																																																																																																																																																																																																																						
1															2															3															4															5															6															7															8															9																																																																																																																																																																																																																																																																																																																																																																																																																																																																																																																																																																																																																																																																																																																																																																																																																																																																																																																																																																																																																																																																																																																																																																																																																																																																																																																																																																																																																																																																																																																																																																																																																																																																																																																																																																																																																																																																																																																																																																																																																																																																																																																																																																																																																																																																																																																																																																																																																																																																																																																																																																																																																																																																																																																																																																																																																																																																																																																																																																																																																																																																																																																																																																																																																																																																																																																																																																																																																																																																																																																																																																																																																																																																																																																																																																																																																																																																																																																																																																																																																																																																																																																																																																																																																																																																																																																																																																																																																																																																																																																																																																																																																																																																																																																																																																																																																																																																																																																																																																																																																																																																																																																																																																																																																																																																																																																																																																																																																																																																																																																																																																																																																																																																																																																																																																																																																																																																																																																																																																																																																																																																																																																																																																																																																																																																																																																																																																																																																																																																																																																																																																																																																																																																																																																																																																																																																																																																																																																																																																																																																																																																																																																																																																																																																																																																																																																																																																																																																																																																																																																																																																																																																																																																																																																																																																																																																																																																																																																																																																																																																																												
Antropogén																																																																																																																																																																																																																																																																																																																																																																																																																																																																																																																																																																																																																																																																																																																																																																																																																																																																																																																																																																																																																																																																																																																																																																																																																																																																																																																																																																																																																																																																																																																																																																																																																																																																																																																																																																																																																																																																																																																																																																																																																																																																																																																																																																																																																																																																																																																																																																																																																																																																																																																																																																																																																																																																																																																																																																																																																																																																																																																																																																																																																																																																																																																																																																																																																																																																																																																																																																																																																																																																																																																																																																																																																																																																																																																																																																																																																																																																																																																																																																																																																																																																																																																																																																																																																																																																																																																																																																																																																																																																																																																																																																																																																																																																																																																																																																																																																																																																																																																																																																																																																																																																																																																																																																																																																																																																																																																																																																																																																																																																																																																																																																																																																																																																																																																																																																																																																																																																																																																																																																																																																																																																																																																																																																																																																																																																																																																																																																																																																																																																																																																																																																																																																																																																																																																																																																																																																																																																																																																																																																																																																																																																																																																																																																																																																																																																																																																																																																																																																																																																																																																																																																																																																																																																																																																																																																																																																																																																																																																																																																																																																																																																																																																																																																				

GEOtest a.s.										Geologická dokumentace										Objekt													
										Popis polohy										J209													
Hloubka [m]			Stratigrafie			Geologický profil						Hladiny vody			Odběry vzorků			G-typ			14688			736133			Souřadnice			X : 1168203.49 Y : 597229.39 Nadmořská výška : 191.45 Lokalita : Modřice ČOV Mapa : 1:25.000 24-342			
1	2	3	Antropogén			A36			0 10-0 10 : Hlina, hnědá, pevná, s kořínky, dírná			5	6	7	8	9			10			11			12			13			14		
1	2	3	Antropogén			A36			0 10-1 10 : Navážka charakteru jílu s vysokou plasticitou - hlíny jílovité se šterkem, hnědá, stmelená, mírně zavhlhá, konzistence velmi pevná, slídnatá, vápnitá, poloostrohenné úlomky horniny do průměru 0.5 cm (5-10%), lc=1,1, lc=0.96			1.00			1a			siCIY			F8 CHY			Datum zahájení : 3. 5. 2017 Datum ukončení : 3. 5. 2017 Souprava : VHS Jméno operátora : P. Rozhon			POPSNÁ DATA						
2	3	4	Kvartér			A37			1 10-1 70 : Navážka charakteru jílu písčitého - hlíny písčité se šterkem, hnědá, stmelená, mírně zavhlhá, konzistence velmi pevná, slídnatá, vápnitá, poloostrohenné úlomky horniny až do průměru 7 cm (5-10%)			1.00			1a			(sasiCIY)			(F4 CSY)												
3	4	5	Kvartér			C11			1 70-2 80 : Hlina jílovitá, sytě hnědá, pevná, vápnitá, jí se střední plasticitou						2			(siCI)			(F6 CI)												
4	5	6	Kvartér			Q17			2 80-3 40 : Hlina, tmavě hnědá, konzistence pevná, vrstevnatá, jí se střední plasticitou						2			(siCI)			(F6CI)												
5	6	7	Kvartér			Q11			3 40-4 00 : Hlina jílovitá, šedohnědá, tuhá, vápnitá (s hojnými cíváry), jí se střední plasticitou			N U			2			(siCI)			(F6CI)												
6	7	8	Kvartér			Q13			4 00-4 20 : Hlina se střední plasticitou hnědá, tuhá, písčité frakce jemnozrná, lc=0.93			4 00			2			sasiCI			F6 CI												
7	8	9	Kvartér			Q22			4 20-5 70 : Písek hlinitý, rezavošedohnědý, středně ulehý, vlnky, písčité frakce jemnozrná			4 50			4			(sisaCI)			(S4 SM)												
8	9	10	Kvartér			Q32			5 70-8 20 : Šterk s příměsí jemnozrné zeminy, šedohnědý, středně ulehý, zvodnělý, písčité frakce jemno až hrubozrná, polopracované valouny převážně průměru 0.5-3 0 cm, max. 8 cm						5			(saGr)			(G3 G-F)												
9	10	11	Kvartér			N11			8 20-9 00 : Jíl, zelenošedý, tuhý, k bázi tuhý až pevný, vápnitý, jí s vysokou plasticitou, neogenní						6			(CI)			(F8 CH)												
10	11	12	Kvartér																														
11	12	13	Kvartér																														
12	13	14	Kvartér																														
13	14	15	Kvartér																														
14	15	16	Kvartér																														
15	16	17	Kvartér																														
16	17	18	Kvartér																														
17	18	19	Kvartér																														
18	19	20	Kvartér																														
19	20	21	Kvartér																														
20	21	22	Kvartér																														
21	22	23	Kvartér																														
22	23	24	Kvartér																														
23	24	25	Kvartér																														
24	25	26	Kvartér																														
25	26	27	Kvartér																														
26	27	28	Kvartér																														
27	28	29	Kvartér																														
28	29	30	Kvartér																														
29	30	31	Kvartér																														
30	31	32	Kvartér																														
31	32	33	Kvartér																														
32	33	34	Kvartér																														
33	34	35	Kvartér																														
34	35	36	Kvartér																														
35	36	37	Kvartér																														
36	37	38	Kvartér																														
37	38	39	Kvartér																														
38	39	40	Kvartér																														
39	40	41	Kvartér																														
40	41	42	Kvartér																														
41	42	43	Kvartér																														
42	43	44	Kvartér																														
43	44	45	Kvartér																														
44	45	46	Kvartér																														
45	46	47	Kvartér																														
46	47	48	Kvartér																														
47	48	49	Kvartér																														
48	49	50	Kvartér																														
49	50	51	Kvartér																														
50	51	52	Kvartér																														
51	52	53	Kvartér																														
52	53	54	Kvartér																														
53	54	55	Kvartér																														
54	55	56	Kvartér																														
55	56	57	Kvartér																														
56	57	58	Kvartér																														
57	58	59	Kvartér																														
58	59	60	Kvartér																														
59	60	61	Kvartér																														
60	61	62	Kvartér																														
61	62	63	Kvartér																														
62	63	64	Kvartér																														
63	64	65	Kvartér																														
64	65	66	Kvartér																														
65	66	67	Kvartér																														
66	67	68	Kvartér																														
67	68	69	Kvartér																														
68	69	70	Kvartér																														
69	70	71	Kvartér																														
70	71	72	Kvartér																														
71	72	73	Kvartér																														
72	73	74	Kvartér																														
73	74	75	Kvartér																														
74	75	76	Kvartér																														
75	76	77	Kvartér																														
76	77	78	Kvartér																														
77	78	79	Kvartér																														
78	79	80	Kvartér																														
79	80	81	Kvartér																														
80	81	82	Kvartér																														
81	82	83	Kvartér																														
82	83	84	Kvartér																														
83	84	85	Kvartér																														
84	85	86	Kvartér																														
85	86	87	Kvartér																														
86	87	88	Kvartér																														
87	88	89	Kvartér																														
88	89	90	Kvartér																														
89	90	91	Kvartér																														
90	91	92	Kvartér																														
91	92	93	Kvartér																														
92	93	94	Kvartér																														
93	94	95	Kvartér																														
94	95	96	Kvartér																														
95	96	97	Kvartér																														
96	97	98	Kvartér																														
97	98	99	Kvartér																														
98	99	100	Kvartér																														
99	100	101	Kvartér																														
100	101	102	Kvartér																														
101	102	103	Kvartér																														
102	103	104	Kvartér																														
103	104	105	Kvartér																														
104	105	106	Kvartér																														
105	106	107	Kvartér																														
106	107	108	Kvartér																														
107	108	109	Kvartér																														
108	109	110	Kvartér																														
109	110	111	Kvartér																														
110	111	112	Kvartér																														
111	112	113	Kvartér																														
112	113	114	Kvartér																														
113	11																																

Geotest, a s.

Objekt

J210

Souřadnice X : 1168245.48
Y : 597152.47
Nadmořská výška : 191.38
Lokalita Modrice ČOV
Mapa 1:25.000 24-342

Stratigrafie

Hloubka [m]

Antropogén

Geologický profil

1

2

3

4

5

6

7

8

9

10

11

12

13

14

0.00-0.10 : Hlina písčítá, hnědá, tuhá, s kořínky, dlm

0.10-0.30 : Navážka charakteru písku hlinitého s úlomky betonu, hnědá, středně ulehlá, suchá, ostrohranné úlomky betonu převládňe do průměru 4 cm, max. 8 cm

0.30-1.70 : Navážka charakteru písčité hlíny se štěrkem, šedohnědá, stmelená, zavhlá, konzistence velmi pevná, písčítá frakce jemnozrná, polopracované, polozaoblené úlomky hominy převládňe do velikosti 2 cm (20%), ojediněle až 5 - 8 cm

1.70-1.90 : Beton

1.90-2.70 : Navážka charakteru jílu písčitého - jilovitopísčité hlíny se štěrkem, hnědá, stř. ulehlá, vhlká, konzistence tuhá, písčítá frakce jemnozrná, polopracované, polozaoblené úlomky hominy převládňe do velikosti 5 cm (18%), lc=0.87

2.70-2.80 : Železobeton

2.80-3.00 : Navážka charakteru jilovitopísčité hlíny se štěrkem, hnědá, stř. ulehlá, vhlká, konzistence tuhá, písčítá frakce jemnozrná, polopracované, polozaoblené úlomky hominy převládňe do velikosti 5 cm

3.00-3.20 : Navážka charakteru jilovitopísčité hlíny se štěrkem, tmavě hnědošedá, stř. ulehlá, vhlká, konzistence tuhá, písčítá frakce jemnozrná, polopracované, polozaoblené úlomky hominy převládňe do velikosti 5 cm

3.20-3.30 : Beton

3.30-3.90 : Navážka charakteru jilovitopísčité hlíny se štěrkem, tmavě hnědošedá, stř. ulehlá, vhlká, konzistence tuhá, písčítá frakce jemnozrná, polopracované, polozaoblené úlomky hominy převládňe do velikosti 3 cm, max. 10 cm (20%), organická - zapáchá

3.90-4.00 : Beton

4.00-4.10 : Navážka charakteru jilovitopísčité hlíny se štěrkem, tmavě hnědošedá, stř. ulehlá, vhlká, konzistence tuhá, písčítá frakce jemnozrná, polopracované, polozaoblené úlomky hominy převládňe do velikosti 3 cm, max. 10 cm (20%), organická - zapáchá

4.10-5.20 : Železobeton, nevrtitelný

G-typ

Odběr vzorků

Hladiny vody

5

6

7

8

9

1a

(ciSaY)

(S4 SMX)

1a

(siSaCIY)

(F3 MSY)

1b

1a

sasiCIY

F4 CSY

1b

1a

(sasiCIY)

(#4 CSY)

1b

POPIŠNÁ DATA

Datum zahájení

20. 4. 2017

Datum ukončení

20. 4. 2017

Souprava

VHS

Jméno operátora

p. Daněš

INTERVALY VRTÁNÍ [m]

PRŮMÉR [mm]

0.0 - 5.2

175

PODZEMNÍ VODA

1. naražená hladina

3.40 m

Ustálená hladina

3.45 m

Datum zjištění

21. 4. 2017

POZNÁMKA

Dokumentovala Ing. Bulgurovská.

POZNÁMKA

Vrt byl ukončen v 5,1 m.

Měřtko

ID_OBJ

Projekt

Zpracoval

Datum

Příloha

1 : 100

11

17 7164

Ing. M. Bulgurovská

27. 6. 2017

GEOtest a.s.			Geologická dokumentace				Objekt J210a										
			Popis polohy				Souřadnice X : 1168214.68 Y : 597173.70 Nadmořská výška : 191.39 Lokalita : Modřice ČOV Mapa 1:25.000 24-342										
Hloubka [m]	Stratigrafie	Geologický profil					Hladiny vody	Odběry vzorku	G-typ								
1	2	3	4	5	6	7	8	9									
1	Antropogén	A38	0.00-0.10 : Hlína písčitá, hnědá, tuhá, s kořínky, drn						1a	(F8 CHY)							
		A40	0.10-0.30 : Navážka charakteru hlíny jílovité, světle hnědá, smíšená, suchá, konzistence velmi pevná														
		A36	0.30-0.80 : Navážka charakteru jílu s vysokou plasticitou - hlíny jílovité s úlomky betonu, světle hnědá, smíšená, suchá, konzistence velmi pevná														
			0.80-2.50 : Navážka charakteru jílu s vysokou plasticitou - jílu s úlomky horniny, světle hnědá, ulehlá, zavíhla, vápnitá (cicváry), vrstevnatá, poloostrohranné úlomky do 0.5 cm, v hloubce 0.9 m polozaoblené														
3	Kvartér	Q17	2.50-3.00 : Hlína, tmavě hnědá, pevná, vrstevnatá, jílu se střední plasticitou						2	(F6 CI)							
Q18		3.00-3.60 : Hlína jílovitá se štěrkem, hnědá, pevná, s drobnozrnnými polooperacovanými, poloostrohrannými úlomky horniny do velikosti 0.5 cm (do 15%)															
		3.60-6.30 : Štěr s příměsí jemnozrnné zeminy, hnědý, středně ulehlý, zvodnělý, písčitá frakce jemno až hrubozrnná, polooperacované valouny převážně průměru 1 - 5 cm, max. 8 cm															
Q32		6.30-6.70 : Štěr s příměsí jemnozrnné zeminy, rezavý, středně ulehlý, zvodnělý, písčitá frakce jemno až hrubozrnná, polooperacované valouny převážně průměru 1 - 5 cm, max. 8 cm															
7	N		6.70-8.50 : Štěr s příměsí jemnozrnné zeminy, hnědošedý, středně ulehlý, zvodnělý, písčitá frakce jemno až hrubozrnná, polooperacované valouny převážně průměru 1 - 5 cm, max. 8 cm						5	(G3 G-F)							
8																	
9		N11	8.50-9.00 : Jíl, zelenošedý, tuhý, k bázi tuhý až pevný, jílu s vysokou plasticitou, neogenní														
10																	
11																	
12																	
13																	
14																	

Geologický profil		POPISNÁ DATA		INTERVALY VRTÁNÍ		PODZEMNÍ VODA		POZNÁMKA		POZNÁMKA	
Hloubka [m]	Stratigrafie	Geologický profil	POPISNÁ DATA	INTERVALY VRTÁNÍ [m]	PODZEMNÍ VODA	POZNÁMKA	POZNÁMKA	Hloubka [m]	Stratigrafie	Geologický profil	POZNÁMKA
1	2	3	4	5	6	7	8	9	10	11	12
1	2	3	4	5	6	7	8	9	10	11	12
1	2	3	4	5	6	7	8	9	10	11	12
1	2	3	4	5	6	7	8	9	10	11	12
1	2	3	4	5	6	7	8	9	10	11	12
1	2	3	4	5	6	7	8	9	10	11	12
1	2	3	4	5	6	7	8	9	10	11	12
1	2	3	4	5	6	7	8	9	10	11	12
1	2	3	4	5	6	7	8	9	10	11	12
1	2	3	4	5	6	7	8	9	10	11	12
1	2	3	4	5	6	7	8	9	10	11	12
1	2	3	4	5	6	7	8	9	10	11	12
1	2	3	4	5	6	7	8	9	10	11	12
1	2	3	4	5	6	7	8	9	10	11	12
1	2	3	4	5	6	7	8	9	10	11	12
1	2	3	4	5	6	7	8	9	10	11	12
1	2	3	4	5	6	7	8	9	10	11	12
1	2	3	4	5	6	7	8	9	10	11	12
1	2	3	4	5	6	7	8	9	10	11	12
1	2	3	4	5	6	7	8	9	10	11	12
1	2	3	4	5	6	7	8	9	10	11	12
1	2	3	4	5	6	7	8	9	10	11	12
1	2	3	4	5	6	7	8	9	10	11	12
1	2	3	4	5	6	7	8	9	10	11	12
1	2	3	4	5	6	7	8	9	10	11	12
1	2	3	4	5	6	7	8	9	10	11	12
1	2	3	4	5	6	7	8	9	10	11	12
1	2	3	4	5	6	7	8	9	10	11	12
1	2	3	4	5	6	7	8	9	10	11	12
1	2	3	4	5	6	7	8	9	10	11	12
1	2	3	4	5	6	7	8	9	10	11	12
1	2	3	4	5	6	7	8	9	10	11	12
1	2	3	4	5	6	7	8	9	10	11	12
1	2	3	4	5	6	7	8	9	10	11	12
1	2	3	4	5	6	7	8	9	10	11	12
1	2	3	4	5	6	7	8	9	10	11	12
1	2	3	4	5	6	7	8	9	10	11	12
1	2	3	4	5	6	7	8	9	10	11	12
1	2	3	4	5	6	7	8	9	10	11	12
1	2	3	4	5	6	7	8	9	10	11	12
1	2	3	4	5	6	7	8	9	10	11	12
1	2	3	4	5	6	7	8	9	10	11	12
1	2	3	4	5	6	7	8	9	10	11	12
1	2	3	4	5	6	7	8	9	10	11	12
1	2	3	4	5	6	7	8	9	10	11	12
1	2	3	4	5	6	7	8	9	10	11	12
1	2	3	4	5	6	7	8	9	10	11	12
1	2	3	4	5	6	7	8	9	10	11	12
1	2	3	4	5	6	7	8	9	10	11	12
1	2	3	4	5	6	7	8	9	10	11	12
1	2	3	4	5	6	7	8	9	10	11	12
1	2	3	4	5	6	7	8	9	10	11	12
1	2	3	4	5	6	7	8	9	10	11	12
1	2	3	4	5	6	7	8	9	10	11	12
1	2	3	4	5	6	7	8	9	10	11	12
1	2	3	4	5	6	7	8	9	10	11	12
1	2	3	4	5	6	7	8	9	10	11	12
1	2	3	4	5	6	7	8	9	10	11	12
1	2	3	4	5	6	7	8	9	10	11	12
1	2	3	4	5	6	7	8	9	10	11	12
1	2	3	4	5	6	7	8	9	10	11	12
1	2	3	4	5	6	7	8	9	10	11	12
1	2	3	4	5	6	7	8	9	10	11	12
1	2	3	4	5	6	7	8	9	10	11	12
1	2	3	4	5	6	7	8	9	10	11	12
1	2	3	4	5	6	7	8	9	10	11	12
1	2	3	4	5	6	7	8	9	10	11	12
1	2	3	4	5	6	7	8	9			

Měřítko	1 : 100
ID_OBJ	12
Projekt	17 7184
Zpracoval	Ing. M. Bulgurovská
Datum	27. 6. 2017
Příloha	

POPSNÁ DATA	
Datum zahájení	3. 5. 2017
Datum ukončení	3. 5. 2017
Souprava	VHS
Jméno operátora	p. Friak

INTERVALY VRTÁNÍ	
[m]	PRŮMĚR [mm]
0.0 -	4.6 175
4.6 -	9.0 137

PODZEMNÍ VODA	
1. naražená hladina	3.70 m
Ustálená hladina	3.90 m
Datum zjištění	3. 5. 2017

POZNÁMKA	
Dokumentovala Ing. Bulgurovská.	

POZNÁMKA	
Vrt byl ukončen v 9 m.	

GEOtest a.s.			Geologická dokumentace					Objekt		
			Popis polohy					J215		
								Souřadnice		
								X : 1168279.01		
								Y : 597297.74		
								Nadmořská výška		
								191.11		
								Lokalita		
								Modřice COV		
								Mapa 1:25.000		
								24-342		
								9		

Geologická dokumentace

Popis polohy

Hloubka [m]		Stratigrafie	Geologický profil	Geologická dokumentace					Objekt	
1	2	3	4	5	6	7	8	9	J219	Souřadnice X : 1168277.22 Y : 597424.60 Nadmořská výška : 191.30 Lokalita : Modřice ČOV Mapa 1:25 000 24-342
		A	A37 A40	0.00-0.20 : Navázka charakteru písčité hlíny se šterkem, hnědá, pevná, úlomky do průměru 1 cm, s kořinky, dm 0.20-0.25 : Blok horniny velikosti 16 cm 0.25-1.30 : Navázka charakteru hlíny se střední plasticitou - hlíny písčitojilovité s úlomky cihel a šterku, tmavěji hnědá, ulehla, vlhká, konzistence pevná, vápnitá, s drobnozrnnými polopracovanými, poloostrohrannými úlomky cihel, betonu, horniny do průměru 0.5 cm, Ic=1.12 1.30-2.60 : Hlína jílovitá, až jíl prachovitý s vysokou plasticitou, hnědá, tuhá až pevná, vápnitá, vrstevnatá						
5	3	Q11		2.60-3.10 : Hlína jílovitá až jíl prachovitý s vysokou plasticitou, hnědá, tuhá, Ic=0.95 3.10-4.00 : Hlína jílovitá, tmavě šedohnědá, tuhá, s příměsí organických částic, jíl se střední plasticitou		2	siCl	F8 CH	PODZEMNÍ VODA 1. naražená hladina 5.30 m Ustálená hladina 4.10 m Datum zjištění 25. 4. 2017	POZNÁMKA Dokumentovala Ing. Bulgurovská. POZNÁMKA Vrt byl ukončen v 8.8 m.
	4	Q41		4.00-4.60 : Jíl s vysokou plasticitou, rezavošedohnědý, tuhý		3	(siCl)	(F8 CH)		
		Q22		4.60-5.00 : Jíl s vysokou plasticitou, rezavošedozelený, tuhý, na bázi jemnozrnné písčité		3	(sasiCl)	(F8 CH)		
		Q28		5.00-5.40 : Písek hlinitý až hlína písčitá, hnědošedý, středně ulehlý, vlhký, písčítá frakce jemnozrnná 5.40-6.00 : Písek prachovitý se šterkem až písčítá hlína se šterkem, tmavěji hnědošedý, středně ulehlý, zvodnělý, písčítá frakce jemno až středozrnná 6.00-8.80 : Šterk s jemnozrnnou příměsí, hnědošedý, středně ulehlý, zvodnělý, písčítá frakce jemno až hrubozrnná, polopracované valouny horniny do průměru 5 - 6 cm, v hloubce 6.1 cm valounu průměru až 12 cm		4	(cSa)	(F3 MS)		
		Q32				4	ciSa	F3 MS		
10	9	N11		8.80-10.00 : Jíl s velmi vysokou plasticitou, zelenošedý, tuhý, neogenní, Ic=0.82		5	(saGr)	(G3 G-F)	Měřítka ID_OBJ 21 Projekt 17 7184 Zpracoval Ing. M. Bulgurovská Datum 27. 6. 2017 Přiloha	
						6	Cl	F8 CV		

GEOtest a.s.										Geologická dokumentace										Objekt J221									
										Popis polohy										Souřadnice X : 1168300.00 Y : 597326.73 Nadmořská výška : 191.11 Lokalita : Modřice ČOV Mapa 1:25.000 24-342									
																				G-typ 14688 736133									
Hloubka [m]										Stratigrafie										Geologický profil									
1										2										3									
1										Antropogén										A39									
2																				A50									
3																													
4																				A49									
5																				A32									
6																				Q32									
7																				Q22									
8																				Q32									
9																				N11									
10																													
11																													
12																													
13																													
14																													
15																													
16																													
17																													
18																													
19																													
20																													
21																													
22																													
23																													

GEOtest, a.s.										Geologická dokumentace										Objekt J227									
										Popis polohy										Souradnice X : 1168356.99 Y : 597419.45 Nadmořská výška : 191.28 Lokalita : Modřice ČOV Mapa 1:25 000 24-342									
Stratigrafie										Geologický profil										Hloubka [m]									
1										2										3									
Antropogén										A37										A36									
2										Q11																			
3																													
4										Q41																			
5										Q26																			
6										Q32																			
7																													
8										Neogén										N11									
9																													
10																													
11																													
12																													
13																													
14																													

Geologická dokumentace

Popis polohy

Objekt

J228

Souřadnice X : 1168347.81
Y : 597376.44
Nadmořská výška : 191.32
Lokalita : Modřice ČOV
Mapa 1:25.000 24-342

Hloubka [m]	Stratigrafie	Geologický profil					Hladiny vody	Ověry vzorku	G-typ	14688	736133
1	2	3	4	5	6	7	8	9			
1	Antropogén	A37	0.00-0.10 : Hlina, tmavě hnědá, pevná, s kořínky dřm			1a	(saSiCIY)	(E4 CSY)			
		A40	0.10-0.30 : Navážka charakteru písčitého jílu se šterkem, hnědá, kyprá, zavlhlá, písčité frakce jemnozrná, poloopracované úlomky horniny do velikosti 0.5 cm		T	1a	saSiCIY	F4 CSY			
		A48	0.30-1.00 : Navážka charakteru písčitého jílu se šterkem a úlomky betonu, hnědá, ulehlá - smíšená, zavlhlá, vápnitá, konzistence velmi pevná, poloopracované úlomky horniny a betonu do velikosti 2 cm, ojedíněle 8 cm, lc=1,15		0.70	1c	(grSiSaY)	(S5 SCY)			
		A40	1.00-1.60 : Navážka charakteru písku jílovitého se šterkem, rezavohnědý, smíšená, přehnutelná, zavlhlá, písčité frakce jemno až středozrná, kousky cihel, poloopracované úlomky horniny a betonu do velikosti 1 cm			1a	saCIY	F4 CSY			
		A41	1.60-2.50 : Navážka charakteru jílu písčitého se šterkem, hnědá, tmavě hnědý smouhovaný, ulehlá, zavlhlá, konzistence pevná, vápnitá, s cíváry poloopracované úlomky horniny do velikosti 3 cm (15%), lc=1.07, cr=0.91		P	1a	(saCIY)	(F6 CIY)			
2			2.50-3.60 : Jíl se střední plasticitou, šedohnědý smouhovaný, tuhý		2.50						
3											
4		A12	3.60-4.00 : sStavební odpad -dřevěné desky s jilem, částečně zetelelé								
5		Q42	4.00-4.80 : Jíl se střední plasticitou, zelenošedá, rezavě smouhovaná, tuhá, písčité frakce jemnozrná, místy vločky jemnozrného rezavého písku, lc=0.82		4.60	3	saSiCI	F6 CI			
6			4.80-5.70 : Šterk s jemnozrnnou příměsí, šedý, středně ulehlý, zvodnělý, písčité frakce jemno až hrubozrná, poloopracované valouny horniny do průměru 3 - 4 cm		P	5	saGr	G3 G-F			
7		Q32	5.70-6.10 : Šterk s jemnozrnnou příměsí, šedý, středně ulehlý, zvodnělý, písčité frakce jemno až hrubozrná, poloopracované valouny horniny do průměru až 12 cm		5.50	5	(saGr)	(G3 G-F)			
8			6.10-7.40 : Šterk s jemnozrnnou příměsí, šedý, středně ulehlý, zvodnělý, písčité frakce jemno až hrubozrná, poloopracované valouny horniny do průměru 3 - 4 cm			5	(saGr)	(G3 G-F)			
9		N11	7.40-9.00 : Jíl s vysokou plasticitou, šedozelený, tuhý, lc=0.86, neogenní		N	6	CI	F8 CH			
10					9.00						
11											
12											
13											
14											

POZNÁMKA

Dokumentovala Ing. Bulguřovská.

POZNÁMKA

Vrt byl ukončen v 9 m.

Měřítko

1 : 100

ID_OB

33

Projekt

17 7184

Zpracoval

Ing. M. Bulguřovská

Datum

27. 6. 2017

Příloha

Antropogén

Kvartér

Neogén

0.00-0.10 : Hlina, tmavě hnědá, pevná, s kořínky dřm
0.10-0.30 : Navážka charakteru písčitého jílu se šterkem, hnědá, kyprá, zavlhlá, písčité frakce jemnozrná, poloopracované úlomky horniny do velikosti 0.5 cm
0.30-1.00 : Navážka charakteru písčitého jílu se šterkem a úlomky betonu, hnědá, ulehlá - smíšená, zavlhlá, vápnitá, konzistence velmi pevná, poloopracované úlomky horniny a betonu do velikosti 2 cm, ojedíněle 8 cm, lc=1,15
1.00-1.60 : Navážka charakteru písku jílovitého se šterkem, rezavohnědý, smíšená, přehnutelná, zavlhlá, písčité frakce jemno až středozrná, kousky cihel, poloopracované úlomky horniny a betonu do velikosti 1 cm
1.60-2.50 : Navážka charakteru jílu písčitého se šterkem, hnědá, tmavě hnědý smouhovaný, ulehlá, zavlhlá, konzistence pevná, vápnitá, s cíváry poloopracované úlomky horniny do velikosti 3 cm (15%), lc=1.07, cr=0.91
2.50-3.60 : Jíl se střední plasticitou, šedohnědý smouhovaný, tuhý

3.60-4.00 : sStavební odpad -dřevěné desky s jilem, částečně zetelelé
4.00-4.80 : Jíl se střední plasticitou, zelenošedá, rezavě smouhovaná, tuhá, písčité frakce jemnozrná, místy vločky jemnozrného rezavého písku, lc=0.82

4.80-5.70 : Šterk s jemnozrnnou příměsí, šedý, středně ulehlý, zvodnělý, písčité frakce jemno až hrubozrná, poloopracované valouny horniny do průměru 3 - 4 cm
5.70-6.10 : Šterk s jemnozrnnou příměsí, šedý, středně ulehlý, zvodnělý, písčité frakce jemno až hrubozrná, poloopracované valouny horniny do průměru až 12 cm
6.10-7.40 : Šterk s jemnozrnnou příměsí, šedý, středně ulehlý, zvodnělý, písčité frakce jemno až hrubozrná, poloopracované valouny horniny do průměru 3 - 4 cm

7.40-9.00 : Jíl s vysokou plasticitou, šedozelený, tuhý, lc=0.86, neogenní

POPISNÁ DATA
Datum zahájení : 27. 4. 2017
Datum ukončení : 27. 4. 2017
Souprava : VHS
Jméno operátora : p. Rozhon

INTERVALY VRTÁNÍ [m] PRŮMĚR [mm]
0.0 - 4.8 175
4.8 - 9.0 137

PODZEMNÍ VODA
1. naražená hladina 3.70 m
Ustálená hladina 3.75 m
Datum zjištění : 28. 4. 2017

POZNÁMKA
Dokumentovala Ing. Bulguřovská.

POZNÁMKA
Vrt byl ukončen v 9 m.

Měřítko : 1 : 100
ID_OB : 33
Projekt : 17 7184
Zpracoval : Ing. M. Bulguřovská
Datum : 27. 6. 2017
Příloha :

GEOtest, a.s.										Geologická dokumentace										Objekt																																																																																																																																																																																																																																																																																																																																																																																																																																																																																																																																																																																																																																																																																																																																																																																																																																																																																																																																																																																																																																																																																																																																																																																																																																																																																																																																																																																																																																																																																																																																																																																																																																																																																																																																																																																																																																																																																																																																																																																																																																																																																																																																																																																																																																																																																																																																																																																																																																																																																																																																																																																																																																																																																																																																																																																																																																																																																																																																																																																																																																																																																																																																																																																																																																																																																																																																																																																																																																																																																																																																																																																																																																																																																																																																																																																																											
										Popis polohy										J229a																																																																																																																																																																																																																																																																																																																																																																																																																																																																																																																																																																																																																																																																																																																																																																																																																																																																																																																																																																																																																																																																																																																																																																																																																																																																																																																																																																																																																																																																																																																																																																																																																																																																																																																																																																																																																																																																																																																																																																																																																																																																																																																																																																																																																																																																																																																																																																																																																																																																																																																																																																																																																																																																																																																																																																																																																																																																																																																																																																																																																																																																																																																																																																																																																																																																																																																																																																																																																																																																																																																																																																																																																																																																																																																																																																																																											
Hloubka [m]										Stratigrafie										Geologický profil										Soubřadnice																																																																																																																																																																																																																																																																																																																																																																																																																																																																																																																																																																																																																																																																																																																																																																																																																																																																																																																																																																																																																																																																																																																																																																																																																																																																																																																																																																																																																																																																																																																																																																																																																																																																																																																																																																																																																																																																																																																																																																																																																																																																																																																																																																																																																																																																																																																																																																																																																																																																																																																																																																																																																																																																																																																																																																																																																																																																																																																																																																																																																																																																																																																																																																																																																																																																																																																																																																																																																																																																																																																																																																																																																																																																																																																																																																																																	
1										2										3										4										5										6										7										8										9																																																																																																																																																																																																																																																																																																																																																																																																																																																																																																																																																																																																																																																																																																																																																																																																																																																																																																																																																																																																																																																																																																																																																																																																																																																																																																																																																																																																																																																																																																																																																																																																																																																																																																																																																																																																																																																																																																																																																																																																																																																																																																																																																																																																																																																																																																																																																																																																																																																																																																																																																																																																																																																																																																																																																																																																																																																																																																																																																																																																																																																																																																																																																																																																																																																																																																																																																																																																																																																																																																																																																																																																																																																																																																																																															
1										Antropogén										A39										0.00-0.10 : Hlina, hnědá, tuhá, s kořínky, dím										1a										(saCIY)										(F6 CIY)										POPSNÁ DATA																																																																																																																																																																																																																																																																																																																																																																																																																																																																																																																																																																																																																																																																																																																																																																																																																																																																																																																																																																																																																																																																																																																																																																																																																																																																																																																																																																																																																																																																																																																																																																																																																																																																																																																																																																																																																																																																																																																																																																																																																																																																																																																																																																																																																																																																																																																																																																																																																																																																																																																																																																																																																																																																																																																																																																																																																																																																																																																																																																																																																																																																																																																																																																																																																																																																																																																																																																																																																																																																																																																																																																																																																																																																																																																																																									
2																				A40										0.10-1.10 : Navážka charakteru jílovité hlíny - jílu se střední plasticitou s úlomky betonu a štěrku, hnědá, ulehá, vápnitá, konzistence pevná, s drobnozrnnými poloopracovanými, polozaoblenými úlomky horniny a betonu do velikosti 4 cm										1a										(saCIY)										(F6 CIY)										Datum zahájení 28. 4. 2017																																																																																																																																																																																																																																																																																																																																																																																																																																																																																																																																																																																																																																																																																																																																																																																																																																																																																																																																																																																																																																																																																																																																																																																																																																																																																																																																																																																																																																																																																																																																																																																																																																																																																																																																																																																																																																																																																																																																																																																																																																																																																																																																																																																																																																																																																																																																																																																																																																																																																																																																																																																																																																																																																																																																																																																																																																																																																																																																																																																																																																																																																																																																																																																																																																																																																																																																																																																																																																																																																																																																																																																																																																																																																																																																																									
3																				Q12										1.10-1.30 : Navážka charakteru jílovité hlíny - jílu se střední plasticitou s úlomky betonu a štěrku (30%), hnědá, ulehá, vápnitá, konzistence pevná, s drobnozrnnými poloopracovanými, polozaoblenými úlomky horniny a betonu do velikosti 4 cm										1a										(saCIY)										(F6 CIY)										Datum ukončení 28. 4. 2017																																																																																																																																																																																																																																																																																																																																																																																																																																																																																																																																																																																																																																																																																																																																																																																																																																																																																																																																																																																																																																																																																																																																																																																																																																																																																																																																																																																																																																																																																																																																																																																																																																																																																																																																																																																																																																																																																																																																																																																																																																																																																																																																																																																																																																																																																																																																																																																																																																																																																																																																																																																																																																																																																																																																																																																																																																																																																																																																																																																																																																																																																																																																																																																																																																																																																																																																																																																																																																																																																																																																																																																																																																																																																																																																																									
4																				Q12										1.30-2.10 : Navážka charakteru jílovité hlíny - jílu se střední plasticitou, s úlomky betonu a štěrku, hnědá, ulehá, vápnitá, konzistence pevná, s drobnozrnnými poloopracovanými, polozaoblenými úlomky horniny a betonu do velikosti 4 cm										2										(saCIY)										(F6 CIY)										Souprava VHS																																																																																																																																																																																																																																																																																																																																																																																																																																																																																																																																																																																																																																																																																																																																																																																																																																																																																																																																																																																																																																																																																																																																																																																																																																																																																																																																																																																																																																																																																																																																																																																																																																																																																																																																																																																																																																																																																																																																																																																																																																																																																																																																																																																																																																																																																																																																																																																																																																																																																																																																																																																																																																																																																																																																																																																																																																																																																																																																																																																																																																																																																																																																																																																																																																																																																																																																																																																																																																																																																																																																																																																																																																																																																																																																																									
5																				Q42										2.10-3.00 : Hlina jílovitá, hnědá, tuhá až pevná, jílu se střední plasticitou										2										(saCIY)										(F6 CIY)										Jméno operátora p. Rozhoř																																																																																																																																																																																																																																																																																																																																																																																																																																																																																																																																																																																																																																																																																																																																																																																																																																																																																																																																																																																																																																																																																																																																																																																																																																																																																																																																																																																																																																																																																																																																																																																																																																																																																																																																																																																																																																																																																																																																																																																																																																																																																																																																																																																																																																																																																																																																																																																																																																																																																																																																																																																																																																																																																																																																																																																																																																																																																																																																																																																																																																																																																																																																																																																																																																																																																																																																																																																																																																																																																																																																																																																																																																																																																																																																																									
6																				Q42										3.00-3.70 : Jíl se střední plasticitou, písčité, hnědý, tuhý až pevný, lc=0.98										3										(saCI)										F6 CI										PRŮMĚR [mm]																																																																																																																																																																																																																																																																																																																																																																																																																																																																																																																																																																																																																																																																																																																																																																																																																																																																																																																																																																																																																																																																																																																																																																																																																																																																																																																																																																																																																																																																																																																																																																																																																																																																																																																																																																																																																																																																																																																																																																																																																																																																																																																																																																																																																																																																																																																																																																																																																																																																																																																																																																																																																																																																																																																																																																																																																																																																																																																																																																																																																																																																																																																																																																																																																																																																																																																																																																																																																																																																																																																																																																																																																																																																																																																																																									
7																				Q21										3.70-4.50 : Jíl písčité, rezavošedohnědý, smouhovaný, měkký až tuhý, písčité frakce jemnozrná										4										(saCI)										(F4 CS)										INTERVALY VRTÁNÍ [m]																																																																																																																																																																																																																																																																																																																																																																																																																																																																																																																																																																																																																																																																																																																																																																																																																																																																																																																																																																																																																																																																																																																																																																																																																																																																																																																																																																																																																																																																																																																																																																																																																																																																																																																																																																																																																																																																																																																																																																																																																																																																																																																																																																																																																																																																																																																																																																																																																																																																																																																																																																																																																																																																																																																																																																																																																																																																																																																																																																																																																																																																																																																																																																																																																																																																																																																																																																																																																																																																																																																																																																																																																																																																																																																																																									
8																				Q21										4.50-4.80 : Písek jílovitý až jílu písčité, hnědošedý, středně ulehý, zvodnělý, písčité frakce jemno až středozrná, konzistence měkká										5										(saGr)										(G3 G-F)										POZNÁMKA																																																																																																																																																																																																																																																																																																																																																																																																																																																																																																																																																																																																																																																																																																																																																																																																																																																																																																																																																																																																																																																																																																																																																																																																																																																																																																																																																																																																																																																																																																																																																																																																																																																																																																																																																																																																																																																																																																																																																																																																																																																																																																																																																																																																																																																																																																																																																																																																																																																																																																																																																																																																																																																																																																																																																																																																																																																																																																																																																																																																																																																																																																																																																																																																																																																																																																																																																																																																																																																																																																																																																																																																																																																																																																																																																									
9																				N11										4.80-8.60 : Štěr s jemnozrnnou příměsí, hnědý, středně ulehý, zvodnělý, písčité frakce jemno až hrubozrná, poloopracované, zaoblené i poloostrohnané valouny horniny do průměru 0.5 - 4 cm, ojediněle max. 8 cm										6										(CI)										(F8 CH)										POZNÁMKA																																																																																																																																																																																																																																																																																																																																																																																																																																																																																																																																																																																																																																																																																																																																																																																																																																																																																																																																																																																																																																																																																																																																																																																																																																																																																																																																																																																																																																																																																																																																																																																																																																																																																																																																																																																																																																																																																																																																																																																																																																																																																																																																																																																																																																																																																																																																																																																																																																																																																																																																																																																																																																																																																																																																																																																																																																																																																																																																																																																																																																																																																																																																																																																																																																																																																																																																																																																																																																																																																																																																																																																																																																																																																																																																																									
10																														8.60-9.00 : Jíl, zelenošedý, tuhý, jílu s vysokou plasticitou, neogenní																																								Vrt byl ukončen v 9 m.																																																																																																																																																																																																																																																																																																																																																																																																																																																																																																																																																																																																																																																																																																																																																																																																																																																																																																																																																																																																																																																																																																																																																																																																																																																																																																																																																																																																																																																																																																																																																																																																																																																																																																																																																																																																																																																																																																																																																																																																																																																																																																																																																																																																																																																																																																																																																																																																																																																																																																																																																																																																																																																																																																																																																																																																																																																																																																																																																																																																																																																																																																																																																																																																																																																																																																																																																																																																																																																																																																																																																																																																																																																																																																																																																									
11																																																																																																																																																																																																																																																																																																																																																																																																																																																																																																																																																																																																																																																																																																																																																																																																																																																																																																																																																																																																																																																																																																																																																																																																																																																																																																																																																																																																																																																																																																																																																																																																																																																																																																																																																																																																																																																																																																																																																																																																																																																																																																																																																																																																																																																																																																																																																																																																																																																																																																																																																																																																																																																																																																																																																																																																																																																																																																																																																																																																																																																																																																																																																																																																																																																																																																																																																																																																																																																																																																																																																																																																																																																																																																																																																																																																																															

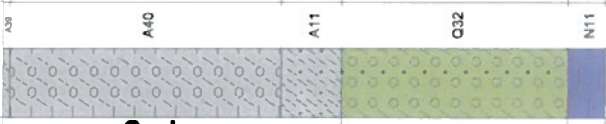

Geologická dokumentace

Popis polohy

Objekt

J230

Souradnice X : 1168363.64
Y : 597287.92
Nadmořská výška : 191.05
Lokalita : Modřice ČOV
Mapa 1:25 000 24-342

Popis polohy									
Hloubka [m]	Stratigrafie	Geologický profil	Hladiny vody	Odběry vzorků	G-typ	14688	736133		
1	2	3	5	6	7	8			
1	Antropogén		0.00-0.10 : Hlina písčitá, hnědá, pevná, s kořínky, drn						
			0.10-3.70 : Navážka charakteru písčité hlíny s úlomky, hnědá, s rezavým a černým smouhováním, ulehla, vlhká, vápnitá, konzistence pevná, s drobnozrnnými poloopracovanými úlomky horniny do velikosti 5 cm, lc=0.92						
			3.70-4.50 : Beton						
5	Kvartér	Q32		1b	1a	CIY	F3 MSY		
6									
8	N	5						(saGr)	(G3 G-F)
10									
12									
14	N	N11						7.50-8.00 : Jíl, šedozeleň, tuhý, jíl s vysokou plasticitou, neogenní	

POPISNÁ DATA
Datum zahájení 21. 4. 2017
Datum ukončení 21. 4. 2017
Souprava VHS
Jméno operátora p. Rozhon

INTERVALY VRTÁNÍ PRŮMĚR [mm]
0.0 - 4.5 175
4.5 - 8.0 137

PODZEMNÍ VODA
1. naražená hladina 4.50 m
Ustálená hladina 3.70 m
Datum zjištění 2. 5. 2017

POZNÁMKA
Dokumentovala Ing. Bulgurovská.

POZNÁMKA
Vrt byl ukončen v 8 m.

Měřítka 1 : 100
ID_OBJ 36
Projekt 17 7184
Zpracoval Ing. M. Bulgurovská
Datum 27. 6. 2017
Příloha